

مقایسه خصوصیات ژنوتیپی سویه‌های ایرانی

Pseudomonas syringae pv. *syringae* از میزبان‌های مختلف با استفاده از rep-PCR

گیلدا نجفی پور^{1*}، سید محسن تقیوی²

تاریخ دریافت: 93/5/10 تاریخ پذیرش: 93/2/4

چکیده

(*Pss*) با دارا بودن بیش از 180 میزبان، بعنوان یکی از مهمترین بیمارگرهای گیاهی تلقی شده و سالیانه خسارات قابل توجهی را در سراسر دنیا به محصولات مختلف وارد می‌کند. به منظور بررسی خصوصیات ژنوتیپی باکتری مذکور، 58 جدایه از میزبان‌های مختلف شامل هسته داران، غلات، دانه داران، برخی علف‌های هرز و گیاهان زیستی در استان‌های فارس، کهگیلویه و بویراحمد، چهارمحال و بختیاری و اصفهان با استفاده از آغازگرهای ERIC و REP انتخاب و مورد ارزیابی قرار گرفتند. با استفاده از این آغازگرها قطعاتی با وزن مولکولی bp 250 تا 1500bp تکثیر شد. در آزمون rep-PCR با استفاده از آغازگر ERIC سویه‌ها به پنج گروه تقسیم شدند که در این گروه‌ها ترجیح میزبانی قابل مشاهده نبود. این نتایج نشان می‌دهد که با استفاده از آغازگر مذکور نمی‌توان سویه‌ها را بر اساس میزبان از یکدیگر تفکیک نمود. در آزمون rep-PCR با استفاده از آغازگر REP نیز سویه‌ها به پنج گروه تقسیم شدند. در این گروه بندی علیرغم پراکندگی سویه‌های درختان میوه هسته دار در گروه‌های مختلف، بسیاری از آن‌ها به همراه سویه‌های رز، شمعدانی و پنیرک در یک گروه قرار گرفتند. اغلب سویه‌های غلات و سویه‌های دانه دار در گروه‌های جداگانه واقع شدند. این نتایج تا حدودی تأییدی بر وجود میزبانی در میان سویه‌های *Pss* می‌باشد. در این پژوهش استفاده از آغازگر REP در روش rep-PCR نشان داد که روش مذکور ابزار مولکولی مفیدی به منظور تمایز نسبی سویه‌های مختلف باکتری *Pss* می‌باشد. آنالیز خوش‌ای روش سه گانه rep-PCR با استفاده از داده‌های قبلی حاصل از انجام BOX-PCR و داده‌های حاصل از انجام ERIC-PCR و REP-PCR در مطالعه حاضر، نشان داد که آنالیز ترکیبی این سه روش توانایی بیشتری در نمایش ترجیح میزبانی نسبی در میان سویه‌های مختلف *Pss* دارد.

واژه‌های کلیدی: rep-PCR، ترجیح میزبانی، *P. syringae* pv. *syringae*, ERIC-PCR.

¹- استادیار، دانشگاه آزاد اسلامی، واحد جهرم، گروه گیاهپزشکی، جهرم، ایران.

²- استاد، بخش گیاهپزشکی، دانشکده کشاورزی، دانشگاه شیراز، شیراز، ایران.

*- نویسنده مسئول مقاله: g_najafipour@jia.ac.ir

مقدمه

گونه 57 پاتووار، به عنوان یکی از مهم ترین گونه های موجود در جنس *Pseudomonas* *Pseudomonas syringae* Van Hall (*Ps*) با دارا بودن بیش از 180 گونه گیاهی را داراست. گیاهانی مانند درختان میوه هسته دار و دانه دار، مرکبات، کیوی، گندم، ذرت، نیشکر، لوبيا و فلفل از جمله مهم ترین میزان های این بیمارگر می باشند (Jones, 1971; Sellam and Wilcoxson, 1976; Wise, 1977; Fahy and Persly, 1983; Canfield et al., 1986; Ghabakhloo et al. 1988; Whitesides and Spotts, 1991; Buonaurio and Scorticini, 1994; Mazarei and Mostofipour, 1994; Hirano et al., 1995; Rahimian, 1995; Spotts and Cervantes, 1995; Saunier et al., 1996; Balestra and Varvaro, 1997; Shams-Bakhsh and Rahimian 1997; Ashoorpour et al., 2008). احتمالاً دامنه میزانی وسیع این باکتری، بازتابی از تنوع ژنتیکی آن می باشد (Weingart and Volkcsch, 1997). بررسی ژنتیکی پاتووارهایی با دامنه میزانی محدود تر نشان داده که آنها یا هیچ تنوع ژنتیکی ندارند و یا تنوع اندکی دارند. به عنوان مثال *P. syringae* pv. *tomato* و *P. syringae* pv. *glycinae* و *P. syringae* pv. *morsprorum* دارند، تنوع ژنتیکی کمتری دارند (Louws et al., 1999).

در چند دهه اخیر، تلاش هایی صورت گرفته تا با استفاده از آنالیزهای مولکولی، تنوع ژنومی موجود میان سویه های مختلف باکتریایی بررسی شود و به این وسیله تمایز و طبقه بندی آنها در سطوح زیر گونه امکان پذیر گردد. از میان این روش ها می توان به روش rep-PCR (repetitive sequence based-PCR) اشاره نمود که به میزان زیاد، به منظور مقایسه سویه ها در حد پاتووار و یا پایین تر از آن مورد استفاده واقع شده است (Versalovic et al., 1991; Louws et al., 1995; Weingart and Volkcsch, 1997; Radmaker and Bruijen, 1998). یکی از مهم ترین مزایای روش rep-PCR آن است که برای تعداد زیادی از باکتری های گرم منفی و برخی باکتری های گرم مثبت قابل اجراست، بدون آن که هیچ گونه اطلاعی از ژنوم باکتری در دسترس باشد (Rademaker and Bruijen, 1998). بررسی های مختلف مشخص نموده که روش فوق می تواند به عنوان یک روش مطلوب و قابل اعتماد در بررسی تنوع درون جمعیت پاتووارها مورد استفاده قرار گیرد (Louws et al., 1995).

در ایران بررسی های فراوانی روی باکتری *Pss* از لحاظ خصوصیات فنوتیپی، بیوشیمیایی و بیماری زایی انجام شده اما تلاش اندکی برای بررسی تنوع ژنوتیپی احتمالی این باکتری انجام شده است. در سال 1388 موسیوند و همکاران (Mosivand et al., 2009) نشان دادند که بر اساس انگشت نگاری ژنتیکی حاصل از rep-PCR تنوع زیادی در میان سویه های *Pss* دیده می شود و می توان سویه های *Pss* عامل نوار قرمز نیشکر را از سویه های *Pss* مولد شانکر در هسته داران، بلاست باکتریایی گندم و لکه زاویه ای ختمی تمایز نموده و در گروه جداگانه ای قرار داد. علاوه بر این نجفی پور و تقوی (Najafi Pour and Taghavi, 2011) نشان دادند که با استفاده از آغازگر BOX می توان در میان سویه های غلات، هسته داران و دانه داران ترجیح نسبی میزانی مشاهده نمود؛ به گونه ای که جدایه های هریک از این سه گروه میزانی، در یک کلاستر مجزا قرار گرفتند.

در پژوهش حاضر خصوصیات ژنوتیپی سویه های *Pss* جداسازی شده از هسته داران، غلات، دانه داران، برخی

علف‌های هرز و گیاهان زیستی در استان‌های فارس، کهگیلویه و بویراحمد، چهارمحال و بختیاری و اصفهان با استفاده از آغازگرهای ERIC و REP در روش rep-PCR با یکدیگر مقایسه شد. پس از آن با استفاده از نتایج BOX-PCR متعلق به مطالعات پیشین، (Najafi Pour and Taghavi, 2011) آنالیز خوش‌های داده‌های مربوط به هر سه آغازگر مورد استفاده در rep-PCR انجام شد. علاوه بر این از میان سه آغازگر مذکور مناسب ترین آغازگر برای تفکیک سویه‌ها مشخص شد.

مواد و روش‌ها

جدایه‌های باکتریایی. در این پژوهش، تعداد 58 سویه‌ی *Pss* موجود در بخش گیاهپزشکی دانشکده کشاورزی دانشگاه شیراز که از گیاهان مختلف جداسازی و تعیین خصوصیت شده بود، مورد استفاده قرار گرفت (*P. fluorescens* و *P. viridiflava*). علاوه بر این جدایه‌هایی از گونه‌های (*Najafi Pour and Taghavi, 2011*) موجود در بخش گیاهپزشکی دانشگاه شیراز، نیز جهت مقایسه استفاده شد. سویه‌های استاندارد *P. meliae* موجود در بخش گیاهپزشکی دانشگاه شیراز، اهدایی Instituto Valenciano de P. savastanoi pv. savastanoi IVIA2558-IT و IVIA 773-1 اسپانیا مورد استفاده قرار گرفت (جدول 1).

جدول 1 - مشخصات سویه‌های مورد استفاده در این پژوهش

Location	محل جداسازی	host	نام میزبان	strain number
Fars	فارس	Almond	بادام	1
Fars	فارس	Barley	جو	2
Fars	فارس	Rice	برنج	3
Kohgiloye-va- Boyer Ahmad	کهگیلویه و بویراحمد	Oat	یولاف	4
Fars	فارس	Peach	هلو	5
Fars	فارس	Rose	رز	6
Fars	فارس	Cherry	گیلاس	7
Chahar Mahal- o Bakhtiari	چهارمحال و بختیاری	Healthy peach	هلوی سالم	8
Isfahan	اصفهان	Peach	هلو	9
Kohgiloye-va- Boyer Ahmad	کهگیلویه و بویراحمد	Almond	بادام	10
Fars	فارس	Rose	رز	11
Kohgiloye-va- Boyer Ahmad	کهگیلویه و بویراحمد	Apricot	زردآلو	12

strain number	نام میزبان	host	محل جداسازی	Location
14	هلو	Peach	فارس	Fars
15	گیلاس	Cherry	چهارمحال و بختیاری	Chahar Mahal- o Bakhtiari
16	چغندر قند	Beet	فارس	Fars
17	زردالو	Apricot	فارس	Fars
18	گیلاس	Cherry	فارس	Fars
19	هلو	Peach	چهارمحال و بختیاری	Chahar Mahal- o Bakhtiari
20	گیلاس	Cherry	فارس	Fars
21	هلو	Peach	چهارمحال و بختیاری	Chahar Mahal- o Bakhtiari
22	شمعدانی	Geranium	فارس	Fars
23	گلابی	Pear	فارس	Fars
24	هلو	Peach	اصفهان	Isfahan
25	پنیرک	<i>Malva sp.</i>	فارس	Fars
26	بادام وحشی	Wild almond	فارس	Fars
27	هلو	Peach	اصفهان	Isfahan
28	بادام	Almond	کهگیلویه و بویراحمد	Kohgiloye-va- Boyer Ahmad
29	گندم	Wheat	چهارمحال و بختیاری	Chahar Mahal- o - Bakhtiari
30	بادام وحشی	Wild almond	فارس	Fars
31	بادام	Almond	کهگیلویه و بویراحمد	Kohgiloye-va- Boyer Ahmad
32	هلو	Peach	چهارمحال و بختیاری	Chahar Mahal- o - Bakhtiari
33	هلو	Peach	اصفهان	Isfahan
34	بادام	Almond	کهگیلویه و بویراحمد	Kohgiloye-va- Boyer Ahmad
35	هلو	Peach	فارس	Fars
36	به	Quince	فارس	Fars
37	هلو	Peach	چهارمحال و	Chahar Mahal- o -

Location	محل جداسازی	host	نام میزبان	strain number
Bakhtiari	بختیاری			
Isfahan	اصفهان	Peach	هلو	38
Fars	فارس	Wild almond	بادام وحشی	39
Chahar Mahal- o - Bakhtiari	چهارمحال و بختیاری	Cherry	گیلاس	40
Fars	فارس	Peach	هلو	41
Chahar Mahal- o - Bakhtiari	چهارمحال و بختیاری	Wheat	گندم	42
Fars	فارس	Wild almond	بادام وحشی	43
Kohgiloye-va- Boyer Ahmad	کهگیلویه و بویراحمد	Almond	بادام	44
Fars	فارس	Cherry	گیلاس	45
Kohgiloye-va- Boyer Ahmad	کهگیلویه و بویراحمد	Apricot	زردآلو	46
Fars	فارس	Almond	بادام	47
Fars	فارس	Geranium	شمعدانی	48
Fars	فارس	Pear	گلابی	49
Chahar Mahal- o - Bakhtiari	چهارمحال و بختیاری	Almond	بادام	50
Fars	فارس	Apricot	زردآلو	51
Fars	فارس	Wild almond	بادام وحشی	52
Chahar Mahal- o - Bakhtiari	چهارمحال و بختیاری	Cherry	گیلاس	53
Fars	فارس	Cherry	گیلاس	54
Fars	فارس	Wheat	گندم	55
Spain	اسپانیا		-----	56
Fars	فارس	Wild almond	بادام وحشی	57
Fars	فارس	Cherry	گیلاس	58
Isfahan	اصفهان	Almond	بادام	59
Fars	فارس	Millet	ارزن	60
Spain	اسپانیا	-----	<i>P.savastanoi</i>	IVIA2558-IT
		-----	-----	13

strain number	نام میزبان	host	محل جداسازی	Location
<i>P. meliae</i>				
61	زیتون تلخ	Chinaberry	فارس	Fars
<i>P. fluorescens</i>				
62	بادام	Almond	فارس	Fars
<i>P. viridiflava</i>				
63	ریحان	Basil	فارس	Fars

تهیه الگو DNA

سوپانسیونی از باکتری با غلظت 10^8 cfu/ml ($OD_{600}=1$) تهیه شد و به مدت ده دقیقه جوشانده و بلا فاصله به مدت یک دقیقه روی یخ قرار گرفت. سپس به مدت ۵ دقیقه در دور ۱۱۰۰۰ g سانتریفیوژ شده و از فاز رویی مستقیماً در PCR استفاده شد (Yaish, 2006).

آزمون rep-PCR

برای بررسی تنوع ژنتیکی *Pss* از روش rep-PCR استفاده شد (Versalovic *et al.*, 1991). براین اساس از آغازگرهای ERIC1R، ERIC2، REP1R و REP2I استفاده گردید (Schaad *et al.*, 2001).

آغازگر	توالی
ERIC 1R	5'-ATGTAAGCTCCTGGGGATTCA-3'
ERIC 2	5'-AAGTAAGTGACTGGGTGAGCG-3'
REP 1R	5'-IIIICGICGICATCIGGC-3'
REP 2I	5'-ICGICTTATCIGGCCTAC-3'

مواد تشکیل دهنده واکنش در حجم نهایی ۲۶ میکرو لیتر شامل غلظت ۱X باف PCR، ۱/۶ میلی مولار $MgCl_2$ ، ۰/۲ میلی مولار Taq DNA polymerase، ۲U dNTPs و ۴۵ pmol آنزیم ۰/۲ میلی مولار مخلوط از هر یک از آغازگرهای ۲ μ L درجه سانتیگراد به مدت ۹۵ دقیقه جوشانده باکتری انعام شد. چرخه دمایی با واسرشته سازی اولیه در دمای ۹۵ درجه سانتیگراد به مدت ۳۵ دقیقه آغاز و سپس ۳۵ چرخه شامل واسرشته سازی DNA در دمای ۹۴ درجه سانتیگراد به مدت ۳ دقیقه و ۹۲ درجه سانتیگراد به مدت ۳۰ دقیقه اتصال آغازگر در دمای ۵۲ درجه سانتیگراد برای آغازگرهای ERIC 1R و REP1R و ۶۵ درجه سانتیگراد برای آغازگرهای REP2I و ERIC 44 درجه سانتیگراد به مدت ۱ دقیقه و امتداد در دمای ۶۵ درجه سانتیگراد به مدت ۸ دقیقه و در انتهای یک سیکل امتداد نهایی در دمای ۶۵ درجه سانتیگراد به مدت ۱۵ دقیقه انجام شد (Versalovic *et al.*, 1991).

به منظور بررسی قطعات تکثیر شده در آزمون rep-PCR، ۱/۵ آگارز ژل درصد تهیه و به آن اتیدیوم بروماید به ۰/۵ میکرو گرم به ازای هر میلی لیتر اضافه شد و محصولات PCR به همراه مارکر مولکولی ۱۰۰ جفت بازی DNA (تهیه شده از شرکت سیناژن) در چاهک های آن بارگذاری و به مدت ۳ ساعت در ولتاژ ۷۰ کلتوفورز شد. سپس با استفاده از دستگاه Gel Documentation از ژل عکسبرداری شد. سپس وزن مولکولی قطعات تکثیر شده

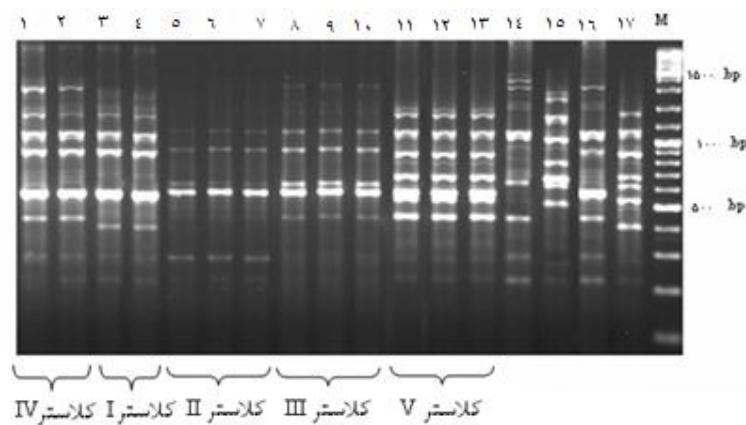
اندازه‌گیری شد.

آنالیز داده‌های ژنتیکی. ابتدا با استفاده از نرم‌افزار Total lab v1.10 باندهای تشکیل شده در ژل شناسایی و NTsys-pc Version) Numerical Taxonomy and Multivariate Analysis System (فاصله ژنتیکی جدایه‌ها ترسیم گردید (Rohlf, 2000). فاصله یا شباهت ژنتیکی بین افراد براساس مارکرهای ملکولی، به صورت وجود و یا عدم وجود نوار در ژل تعیین شد. آنالیز خوش‌ای براساس روش مراتبی Unweighted Pair-Group (Hierachical Technique) انجام و برای بررسی فاصله واقعی میان کلاسترها از روش Simple Matching (SM) Method using Arithmetic Average (UPGMA) و ضریب تشابه (Najafi Pour and Taghavi, 2000). سپس با استفاده از داده‌های به دست آمده در پژوهش‌های پیشین (Rohlf, 2000)، داده‌های مربوط به آغازگرهای REP-PCR با یکدیگر تلفیق و آنالیز خوش‌ای آنها انجام پذیرفت.

نتایج

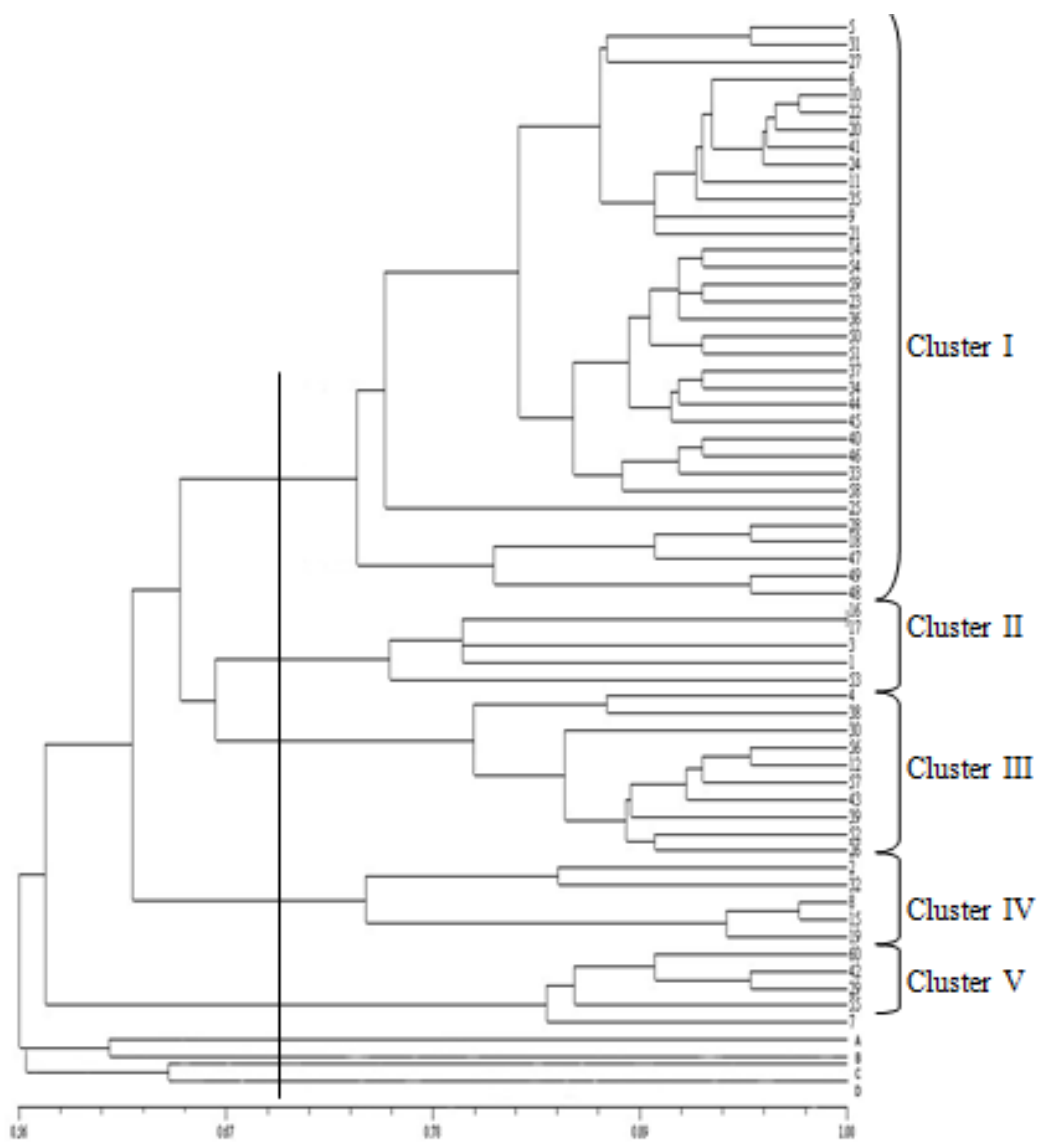
نقوش الکتروفورزی حاصل از تکنیک قطعات بین نواحی حفاظت شده، با آغازگرهای REP و ERIC برای بررسی تنوع در میان پنجاه و هشت جدایه *Pss* مورد استفاده قرار گرفت. با استفاده از آغازگرهای مذکور، قطعاتی با وزن مولکولی 250bp تا 1500 bp تکنیک شد.

در دندروگرام مربوط به آنالیز داده‌های حاصل از آغازگر ERIC سویه‌ها به پنج گروه تقسیم شدند: گروه اول شامل اغلب سویه‌های هسته داران و دانه داران، بعلاوه دو سویه رز (6 و 11)، دو سویه شمعدانی (22 و 48) و یک سویه پنیرک (25) بود. گروه دوم شامل سویه برنج (3)، سویه چغندرقند (16) و سه سویه از هسته داران (1، 17 و 53) بود. گروه سوم در برگیرنده سویه‌های بادام کوهی، سویه یولاف، سویه استاندارد 1-773 (IVIA) و دو سویه از هسته داران (38 و 12) بود. در گروه چهارم سویه جو (2) و چهار سویه از درختان هسته‌دار (8، 15، 32 و 19) قرار گرفت. گروه پنجم شامل سایر سویه‌های غلات بعلاوه یک سویه از هسته‌داران (7) بود. سایر گونه‌ها شامل *P. savastanoi*, *P. meliae*, *P. fluorescens* و *viridiflava* (شکل 1 و 2).

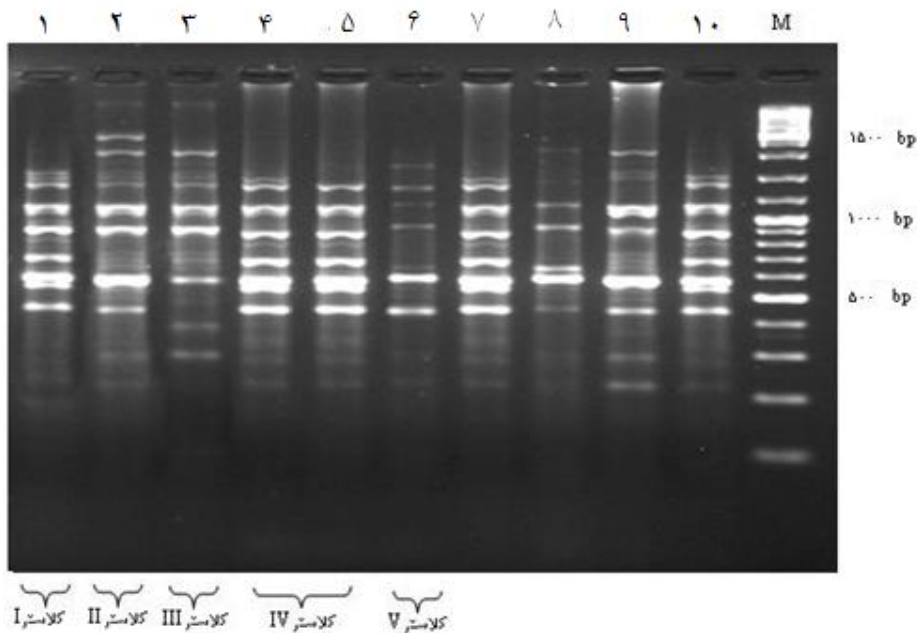


شکل 1- نقوش الکتروفورزی محصول PCR سویه های مختلف *Pseudomonas syringae* pv. *syringae* با استفاده از آغازگر ERIC- ترتیب بارگذاری نمونه ها در چاهکها به صورت زیر است 1: سویه هلو (8)، 2: سویه گیلاس (15)، 3: سویه گیلاس (40)، 4: سویه بادام (28)، 5: سویه چغندرقند (16)، 6: سویه بادام (1)، 7: سویه برنج (3)، 8: سویه بادام وحشی (30)، 9: سویه بادام وحشی (43)، 10: سویه بادام وحشی (52)، 11: سویه گندم (55)، 12: سویه گندم (29)، 13: سویه ارزن (60)، 14: مارکر 100 جفت بازی. اعداد داخل پرانتز شماره هر جدایه را نشان می دهد.

در دندروگرام مربوط به آنالیز داده های حاصل از آغازگر REP نیز سویه ها به پنج گروه تقسیم شدند: گروه یک شامل چهار سویه هسته دار اصفهان (9، 27، 24، 33)، یک سویه هسته دار چهارمحال و بختیاری (8)، سه سویه هسته دار فارس (1، 35، 58)، دو سویه هسته دار از استان کهگیلویه و بویراحمد (34 و 28) به علاوه یک سویه غلات (3) بود. گروه دو شامل تعداد زیادی از سویه های هسته داران، سویه های بادام وحشی (3، 26، 39، 57، 43، 52)، دو سویه رز (6 و 11)، دو سویه شمعدانی (22 و 48) و یک سویه پنیرک (25) بود. گروه سه شامل اغلب سویه های غلات (2، 4، 29، 55، 42) و چهار سویه از هسته داران (5، 18، 31، 51) بود. گروه چهار شامل سویه دانه داران (23)، 36 و 49)، چهار سویه از هسته داران (41، 41، 10، 17، 37) و نیز سویه استاندارد (*Pss* IVIA 773-1) بود. گروه پنج شامل یک سویه غلات (60)، یک سویه چغندرقند (16) و سه سویه هسته دار (7، 21 و 32) بود. سایر گونه ها شامل *P. savastanoi* و *P. meliae* و *P. fluorescens* و *P. viridiflava* هر یک در گروهی جداگانه قرار گرفتند (شکل های 3 و 4).



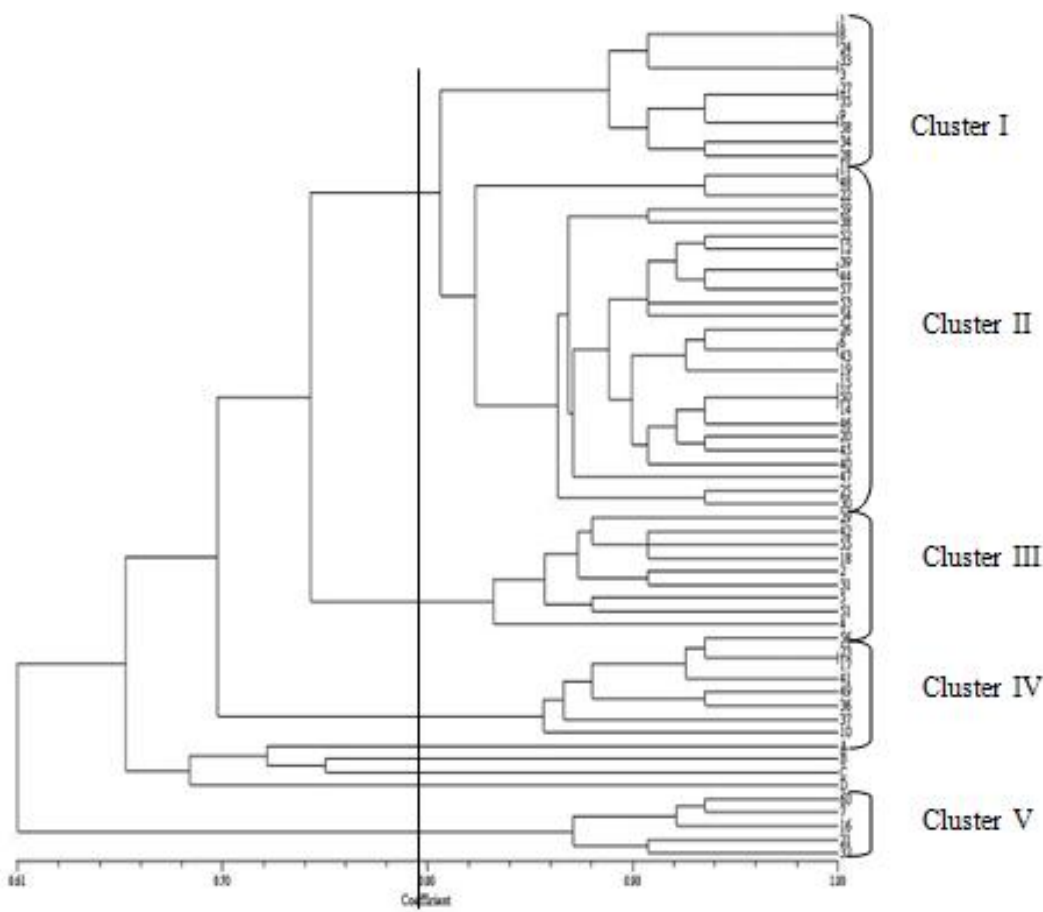
شکل 2. دندروگرام نشان دهنده گروه بندی سویه های *Pseudomonas syringae* pv. *syringae* از میزبان های مختلف براساس آغازگر ERIC در آنالیز rep-PCR- گروه بندی با روش UPGMA و با استفاده از نرم افزار NT-SYS انجام گرفت (مشخصات جدایهها در جدول یک آمده است). خط عمودی ترسیمی، محل برش دندروگرام را نشان می دهد. این خط بر اساس ایجاد گروههایی با بیشترین تشابه با یکدیگر ترسیم شده است.



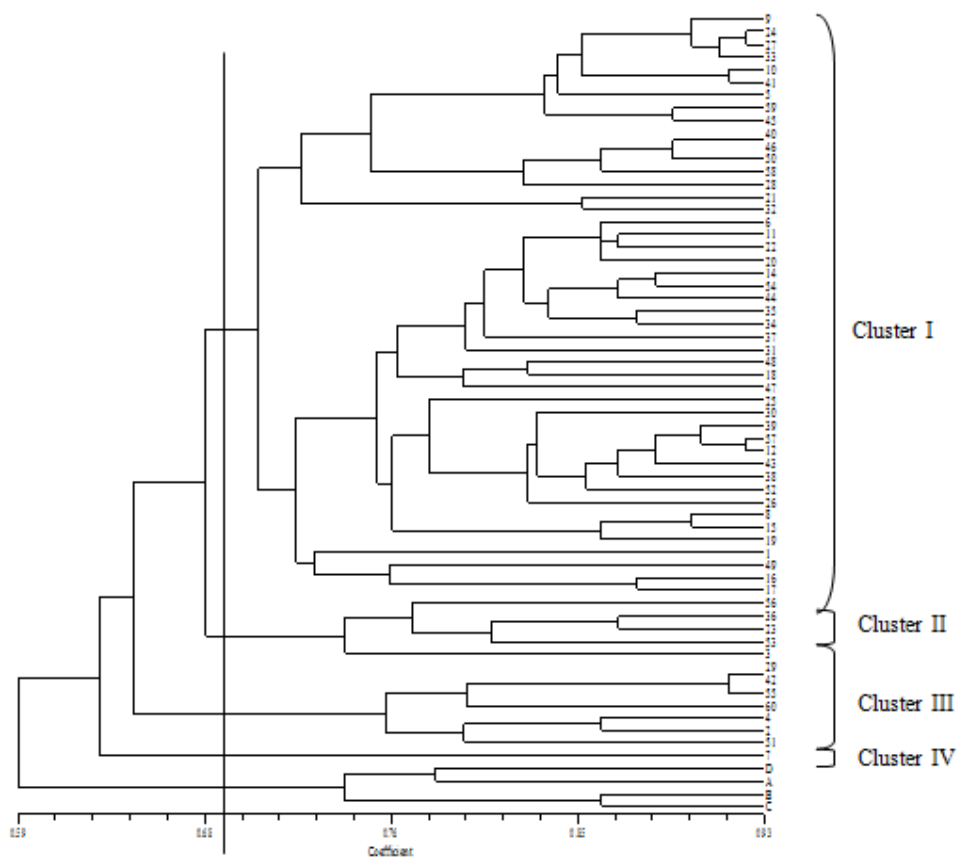
شکل 3. نقوش الکتروفورزی محصول PCR سویه های مختلف *Pseudomonas syringae* pv. *syringae* با استفاده از آغازگر REP. ترتیب بارگذاری نمونه ها در چاهکها به صورت زیر است. 1: سویه هلو (27)، 2: سویه گیلاس (53)، 3: سویه گیلاس (10)، 4: سویه هلو (37)، 5: سویه هلو (41)، 6: سویه ارزن (60)، 7: *P. viridiflava*، 8: *P. meliae*، 9: *P. fluorescens*، 10: *P. savastanoi* (IVIA2558-IT) مارکر 100 جفت بازی. اعداد داخل پرانتز شماره هر جدایه را نشان می دهد.

سویه ها بر اساس نتایج حاصل از ترکیب آغازگرهای ERIC و BOX و REP به طور مشخص به چهار گروه تقسیم شدند (شکل 5).

در گروه اول اغلب سویه های هسته داران، رز، شمعدانی، چغندر، بادام کوهی، یک سویه گلابی (49) و سویه پنیرک قرار گرفتند. گروه دوم شامل سویه به (36)، گلابی (23)، یک سویه هسته دار (53)، یک سویه برنج بعلاوه سویه استاندارد *Pss* 773-1 IVIA بود. گروه سوم شامل سویه های گندم (29)، 42 و (55)، سویه ارزن (60)، سویه یولاف (4)، سویه جو (3) و یک سویه از هسته داران (51) بود. در گروه چهارم تنها یک سویه از هسته داران (7) قرار گرفت. سایر گونه ها شامل *P. viridiflava*, *P. meliae*, *P. fluorescens* و *P. savastanoi* هر یک در گروهی جداگانه قرار گرفتند (شکل 5).



شکل 4. دندروگرام نشان دهنده گروه بندی سویه های *Pseudomonas syringae* pv. *syringae* از میزبان های مختلف براساس آنالیز REP-PCR- درصد تشابه با استفاده از ضریب SM محاسبه شد و گروه بندی با روش UPGMA و با استفاده از نرم افزار NT-SYS انجام گرفت (مشخصات جدایه ها در جدول یک آمده است). خط عمودی ترسیمی، محل بررش دندروگرام را نشان می دهد. این خط بر اساس ایجاد گروه هایی با بیشترین تشابه با یکدیگر ترسیم شده است.



شکل ۵. دندروگرام نشان دهنده گروه بندی سویه های *Pseudomonas syringae* pv. *syringae* از میزبان های مختلف براساس تلفیق داده های حاصل از هر سه آغازگر REP، ERIC و BOX در آنالیز rep-PCR و گروه بندی با روش UPGMA و با استفاده از نرم افزار NT-SYS انجام گرفت (مشخصات جدایه ها در جدول یک آمده است). خط عمودی ترسیمی، محل برش دندروگرام را نشان می دهد. این خط بر اساس ایجاد گروه هایی با بیشترین تشابه با یکدیگر ترسیم شده است.

بحث

در این پژوهش پنجاه و هشت جدایه *Pss* با استفاده از آغازگرهای ERIC و REP در آزمون rep-PCR مورد بررسی قرار گرفتند. در آزمون rep-PCR، با استفاده از آغازگر ERIC سویه ها به پنج گروه تقسیم شدند (شکل های ۳ و ۴). نکته ای که به طور مشخص در دندروگرام حاصله مشاهده گردید، پراکندگی سویه های هسته داران در گروه های پنج گانه بود. علاوه بر این سویه های غلات نیز در چهار گروه از مجموع پنج گروه پراکنده بودند. همچنین سویه های دانه داران نیز در گروه یک در کنار تعدادی از سویه های هسته داران قرار گرفت. سویه استاندارد و بادام کوهی نیز در گروه سه واقع شدند. این نتایج نشان می دهد که با استفاده از آغازگر ERIC نمی توان سویه ها را بر اساس میزبان از یکدیگر تفکیک نمود، در نتیجه مزیت میزبانی با آغازگر مزبور قابل مشاهده نمی باشد. از طرف دیگر Little et al., 1998 (Little et al., 1998) با استفاده از آغازگر ERIC نشان دادند که سویه های جدا شده از هسته داران لیتل و همکاران

کالیفرنیا، گروه مجزایی از اغلب سویه‌های *Pss* جدا شده از سایر میزبانان ایجاد می‌کند و بنابراین احتمالاً نوعی تخصص میزبانی در پاتووار *Pss* وجود دارد. به نظر می‌رسد یکنواختی ژنتیکی موجود در میان هسته‌داران کالیفرنیا به دلیل سازگاری ژنتیکی سویه‌های *Pss* موجود در منطقه و طی سالیان اخیر به وجود آمده است. ظاهرآ کشت طولانی مدت هسته‌داران در یک منطقه اکولوژیکی خاص و عدم ورود ژنوتیپ‌های جدید موجب بروز این وضعیت در هسته‌داران کالیفرنیا گردیده است. این در حالی است که سویه‌های هسته‌داران در ایران احتمالاً از مکان‌های مختلف منشأ گرفته‌اند و مدت زیادی از ورود و کشت آنها در هر منطقه نگذشته است و در نتیجه با استفاده از آغازگر ERIC این تنوع مکانی در منشأ سویه‌ها قابل مشاهده است.

در آزمون rep-PCR با استفاده از آغازگر REP نیز سویه‌ها به پنج گروه تقسیم شدند. در این گروه‌بندی نیز سویه‌های درختان میوه هسته‌دار در گروه‌های مختلفی پراکنده بودند؛ اما با این همه بسیاری از آن‌ها به همراه سویه‌های رز، شمعدانی و پنیرک در گروه دوم قرار گرفتند. اغلب سویه‌های غلات نیز در گروه سوم و سویه‌های درختان میوه دانه‌دار در گروه چهارم واقع شدند. این نتایج تا حدودی تأییدی بر وجود مزیت میزبانی در میان سویه‌های *Pss* می‌باشد. این نتیجه با نتایج به دست آمده توسط نجفی پور و تقسوی (Najafi pour and Taghavi, 2011) مطابقت دارد. آنها با استفاده از آغازگر BOX نشان دادند که می‌توان بر این اساس سویه‌ها را به سه گروه متمایز که با دامنه میزبانی مطابقت نسبی دارد تقسیم نمود. در صورت استفاده از روش سه گانه rep-PCR و آنالیز خوشهای آن‌ها با یکدیگر سویه‌های *Pss* به چهار گروه تقسیم می‌شوند (شکل ۵). گروه اول شامل اغلب سویه‌های هسته‌داران، گروه دوم شامل سویه‌های دانه‌داران به همراه سویه استاندارد و یک سویه برنج و یک سویه از هسته‌داران بود. در گروه سوم نیز به طور عمده سویه‌های غلات قرار گرفتند. یک سویه از هسته‌داران (7) نیز در گروهی جداگانه قرار گرفت. به نظر می‌رسد آنالیز خوشهای این سه روش با یکدیگر توانایی بیشتری در نمایش ترجیح میزبانی نسبی در میان سویه‌های مختلف *Pss* دارا می‌باشد. تحقیقات لووس و همکاران (Louws et al., 1995) نیز روی تعدادی از گونه‌ها و پاتووارهای جنس *Xanthomonas* نشان داد که در صورت استفاده از روش سه گانه rep-PCR و آنالیز خوشهای آن‌ها با یکدیگر می‌توان این سویه‌ها را طبقه‌بندی نمود، به گونه‌ای که نتیجه حاصله با گروه‌بندی حاصل از هیبریداسیون DNA به طور کامل منطبق است. همچنین سوزوکی و همکاران (Suzuki et al., 2003) با استفاده از سه آغازگر BOX, REP و ERIC تنوع ژنتیکی میان سویه‌های *P. syringae* pv. *pisi* را مشخص کردند. هاللووی و همکاران (Halloway et al., 1997) با استفاده از روش rep-PCR سویه‌های استرالیایی *P. syringae* pv. *pisi* را از سایرین تفکیک کردند. مارکوس و همکاران (Marques et al., 2008) نیز با استفاده از آغازگر BOX نشان دادند که می‌توان به این وسیله، نه گروه ژنومی پیشنهاد شده توسط گاردان و همکاران (Gardan et al., 1999) (Gardan et al., 1999) را از یکدیگر تشخیص داد. همچنین با استفاده از این روش، برخی گونه‌های دیگر جنس *Pseudomonas* نیز از *P. syringae* تشخیص شد. نتایج بررسی های سیرویلری و همکاران (Cirvilleri et al., 2005) نشان داد که بر اساس انگشت تفکیک شد. نتایج بررسی های سیرویلری و همکاران (Mosivand et al., 2009) نشان دادند که بر اساس انگشت نگاری ژنتیکی حاصل از rep-PCR تنوع زیادی در میان سویه‌های *Pss* دیده می‌شود و می‌توان سویه‌های *Pss* عامل نوار قرمز نیشکر را از

سویه های *Pss* مولد شانکر در هسته داران، بلایت باکتریایی گندم و لکه زاویه ای ختمی متمایز نموده و در گروه جداگانه ای قرار داد (Mosivand *et al.*, 2009). یافته های این پژوهش و تحقیقات مشابه نشان می دهد که احتمالاً مزیت میزبانی نسبی در میان سویه های *Pss* وجود دارد (Louws Marques *et al.*, 2008; Mosivand *et al.*, 2009; Halloway *et al.*, 1997; Suzuki *et al.*, 2003; *et al.*, 1995; Versalovic *et al.*, 1994; Marques *et al.*, 2008; Louws *et al.*, 1995; Little *et al.*, 1998). استفاده از روش rep-PCR با استفاده از آغازگرهای سه گانه ERIC BOX و REP در این پژوهش نشان داد که روش مذکور، ابزار مولکولی مفیدی به منظور تمایز نسبی سویه های مختلف *Pss* می باشد. این نتیجه با نتایج سایر پژوهندگان نیز مطابقت دارد (Little *et al.*, 1998). یافته های این پژوهش نشان داد که آنالیز ترکیبی آغازگرهای سه گانه در آزمون rep-PCR قادر است به نحو مطلوبی سویه های میزبان های مختلف را از یکدیگر جدا کرده و تا حدودی ترجیح میزبانی این سویه ها را نشان دهد. با توجه به نتایج به دست آمده در این پژوهش پیشنهاد می گردد تحقیقات آینده در جهت استفاده از آغازگرهای تصادفی در آزمون RAPD و همچنین RFLP انجام پذیرد تا مشخص گردد که آیا این ترجیح نسبی میزبانی با آغازگرهای نامبرده نیز قابل تایید است یا خیر.

References

1. Ashourpour M, Niknejad Kazempour M and Ramezanie M. 2008. Occurrence of *Pseudomonas syringae* pv. *syringae* the causal agent of bacterial canker on olives (*Olea europaea*) in Iran. *Science Asia* 34: 323–326.
2. Balestra GM and Varvaro L. 1997. *Pseudomonas syringae* pv. *syringae* causal agent of disease on floral buds of *Actinidia deliciosa* in Italy. *Phytopathology* 145: 375–378.
3. Buonauro R and Scorticini M. 1994. *Pseudomonas syringae* pv. *syringae* on pepper seedlings in Italy. *Plant Pathology* 43: 216–219.
4. Canfield ML, Baca S and Moore LW. 1986. Isolation of *Pseudomonas syringae* from 40 cultivars of diseased woody plants with tip dieback in Pacific Northwest nurseries. *Plant Disease* 70: 647–650.
5. Cirvilleri G, Bonaccorsi A, Scuderi G and Scorticini M. 2005. Potential biological control activity and genetic diversity of *Pseudomonas syringae* pv. *syringae* strains. *Phytopathology* 153: 633–750.
6. Fahy PC and Persley GJ. 1983. *Plant Bacterial Disease: A Diagnostic Guide*. New York: Academic Press. 389 p.
7. Gardan L, Shafik H, Belouin S, Broch R, Grimont F and Grimont PAD. 1999. DNA relatedness among the pathovars of *Pseudomonas syringae* and description of *Pseudomonas tremiae* sp. nov. and *Pseudomonas cannabina* sp. nov. *International Journal of Systematic Bacteriology* 49: 469–478.
8. Ghabakhloo A, Shahryari D and Rahimian H. 1998. Tomato syringae spot outbreak in Varamin. Paper presented at: 13th Plant Protection Congress; 23-27 August; Karaj, Iran.
9. Halloway GJ, Gilling MR and Fahy PC. 1997. Use fatty acid profiles and REP-PCR to assess the genetic diversity of *Pseudomonas syringae* pv. *pisi* isolated from Australia. *Australian Plant Pathology* 26: 98–108.
10. Hirano SS, Rouse DI, Clayton MK and Upper CD. 1995. *Pseudomonas syringae* pv. *syringae* and bacterial brown spot of snap bean: A study of epiphytic phytopathogenic bacteria and associated disease. *Plant Disease* 79: 1085–1093.
11. Jones AL. 1971. Bacterial canker of sweet cherry in Michigan. *Plant Disease Reporter* 55: 961–965.
12. Little EL, Bostock RM and Kirkpatrick BC. 1998. Genetic characterization of *Pseudomonas syringae* pv. *syringae* strains from stone fruits in California. *Applied Environmental Microbiology* 64: 3818–3823.
13. Louws FJ, Fulbright DW, Stephens CT and de Bruijn FJ. 1995. Differentiation of genomic structure by rep-PCR fingerprinting to rapidly classify *Xanthomonas campestris* pv. *vesicatoria*. *Phytopathology* 85: 528–536.
14. Louws FJ, Rademaker JL and de Bruijn FJ. 1999. The three Ds of PCR-based genomic analysis of phytobacteria: diversity, detection and diagnosis. *Annual Review of Phytopathology* 37: 81–125.
15. Marques ASA, Marchaison A, Gardan L and Samson S. 2008. BOX-PCR-based identification of bacterial species belonging to *Pseudomonas syringae* - *P. viridiflava* group. *Genetic and Molecular Biology* 31: 106–115.
16. Mazarei M and Mostofipour P. 1994. First report of bacterial canker of kiwifruit in Iran. *Plant Pathology* 43: 1055–1056.
17. Mosivand M, Rahimian H and Shams-Bakhsh M. 2009. Phenotypic and genotypic relatedness among *Pseudomonas syringae* pv. *syringae* strains isolates from sugarcane, stone fruit and wheat. *Iranian Journal of Plant Pathology* 45: 75–85.

18. Najafi Pour G and Taghavi SM. 2011. Comparison of *P. syringae* pv. *syringae* from different hosts based on pathogenicity and BOX-PCR in Iran. Journal of Agriculture and Science Technology 13: 431–442.
19. Rademaker JLW and De Bruijn FJ. 1998. Characterization and classification of microbes by REP-PCR genomic fingerprinting. pp 1–26 In ADL Akkermans, JD Van Elsas and FJ de Bruijn (eds). Molecular Microbial Manual. Dordrecht: Kluwer Academic Publishers.
20. Rahimian H. 1995. The occurrence of bacterial red streak of sugarcane caused by *Pseudomonas syringae* pv. *syringae* in Iran. Journal of Phytopathology 143: 321–324.
21. Rohlf FJ. 2000. NTSYSpc, Numerical taxonomy and multivariate analysis system. Version 2.1 Exeter software. New York:Applied Biostatistics INC.
22. Saunier M, Malandrin L and Samson R. 1996. Distribution of *Pseudomonas syringae* pathovars in 23 O-serogroups. Applied Environmental Microbiology 62: 2360–2374.
23. Schaad NW, Jones JB and Chun W. 2001. Laboratory Guide for Identification of Plant Pathogenic Bacteria, 3rd edition. St. Paul: APS Press. 373 p.
24. Sellam MA and Wilcoxson D. 1976. Bacterial leaf blight of wheat in Minnesota. Plant Disease Reporter 50: 242–245.
25. Shams-Bakhsh M and Rahimian H. 1997. Comparative study of citrus blast agent and bacterial canker of stone fruit agent in Mazandaran. Iranian Journal of Plant Pathology 33: 132–143.
26. Spotts RA and Cervantes LA. 1995. Copper, oxytetracycline and streptomycin resistance of *Pseudomonas syringae* pv. *syringae* strains from pear orchards in Oregon and Washington. Plant Disease 79: 1132–1135.
27. Suzuki A, Togava M and Ohta K. 2003. Occurrence of white tip of pea caused by a new strain of *Pseudomonas syringae* pv. *pisi*. Plant Disease 87: 1404–1410.
28. Versalovic J, Koeuth T and Lupski JR. 1991. Distribution or repetitive DNA–sequences in eubacteria and application of fingerprinting of bacterial genomes. Nucleic Acids Research 19: 6823–6831.
29. Versalovic J, Schneider M, De Bruijn FJ and Lupski JR. 1994. Genomic fingerprinting of bacteria using repetitive sequence-baced polymerase chain reaction. Methods in Molecular Cell Biology 5: 25–40.
30. Weingart H and Volkcs B. 1997. Genetic fingerprinting of *Pseudomonas syringae* pathovars using ERIC-, REP-, and IS50-PCR. Phytopathology 145: 339–345.
31. Whitesides SK and Spotts RA. 1991. Induction of pear blossom blast by *Pseudomonas syringae* pv. *syringae*. Plant Pathology 40: 118–127.
32. Wise MW. 1977. Compendium of Wheat Disease. St. Paul: APS Press. 112 pp.
33. Yaish MWF. 2006. Genetic mapping of quantitative resistance to race 5 of *Pseudomonas syringae* pv. *phaseolicola* in common bean. Euphytica 152: 397–404.

Genotypic comparison of *Pseudomonas syringae* pv. *syringae* from different hosts based on rep-PCR in Iran

G. Najafi Pour^{*1}, S.M. Taghavi²

Abstract

Pseudomonas syringae pv. *syringae* (*Pss*) is one of the most important pathogens, which infects over than 180 hosts and annually causes significant loss in various plants throughout the world. To investigate the genetic features of the bacterium, 58 isolates from different hosts including pome fruits, grains, stone fruits, some weeds and ornamental plants in Fars, Kohgiluyeh and Boyer Ahmad, Char Mahal-o-Bakhtiari and Isfahan provinces, were selected and evaluated, by ERIC and REP primers. Using these primers, 250-1500 bp DNA fragments were amplified. Analysis of ERIC-PCR fingerprint showed that five clusters exist within *Pss* strains, but any host preferences, were not visible. This result showed that using ERIC-PCR, we cannot differentiate various isolates of *Pss* from different hosts. In REP-PCR analysis *Pss* strains used in this study were divided into the five clusters. Although these isolates were distributed in several clusters, some host specialization could be seen in this heterogenous pathovar. Thus it seems that REP primer is a suitable molecular tool for discrimination of *Pss* strains which are isolated from different hosts. Cluster analysis of rep-PCR demonstrated that this method is reliable for showing host preference within *Pss* strains.

Keywords: ERIC-PCR, host preference, *P. syringae* pv. *syringae*, Rep-PCR.

¹- Assistant Professor, Department of Plant Protection, Jahrom branch, Islamic Azad University, Jahrom, Iran.

²- Professor, Department of Plant Protection, College of Agriculture, Shiraz University, Shiraz, Iran.

*Corresponding author: g_najafipour@jia.ac.ir